

### III-34 破壊点近くでの砂の変形

東京都立大学工学部 正会員 小林慶夫

#### 1. まえがき

砂の力と変形の間係を明らかにするための第一歩として、1974年の本会で、砂が最大の強度を示す破壊時には、粒子間の応力の一様性によって、粒子配列の一様性が生ずるという仮定がこの問題を解く一つの手懸になる可能性について、軸対称圧縮  $\sigma_r > \sigma_t (= \sigma_\theta)$  の場合を例にして述べた。今回は、さらに、軸対称伸張  $\sigma_t (= \sigma_\theta) > \sigma_r$  の場合について考察する。また、軸方向ヒズミ  $\epsilon_z$  と半径方向ヒズミ  $\epsilon_r$  とは、ヒズミがきわめて小さい場合を除けば、最大強度を越えるヒズミ範囲 ( $0, 1$  程度) を含んで、よい線型性を示すことを利用して、破壊点近傍での砂の変形についてもふれた。

#### 2. 規則配列球モデル

##### a) $\sigma_r > \sigma_t (= \sigma_\theta)$ の場合

粒子配列として、前回同様、最密の *Tetrahedral-closed packed hexagonal array* を考える。<sup>1), 2)</sup>

図-1で、紙面に鉛直な方向を I-I 方向、また II-II 方向、III-III 方向を図のようにする。いま、I-I 方向に力を受けて、上球が下球に相対的に  $\overline{MM'}$  の  $\Delta$  倍だけ沈みこんで、 $\overline{MM'}$  になったとすると、砂の間隔比  $e$  と  $\Delta$  との関係として次式が得られる、

$$e = \frac{9\sqrt{2}}{\pi} \left\{ 1 - \frac{2}{3}(1-\Delta)^2 \right\} (1-\Delta) - 1 \quad \dots (1)$$

不規則な配列をしていた砂が、最も規則的な配列をとったとき、最大強度を示すとして、 $\mu$  を砂粒子の静止摩擦係数として、粒子間の力のフリ合いを考えて、 $\Delta$  と  $\sigma_r / \sigma_t$  との間に関係が成り立つ、

$$\tan^{-1} \left[ \frac{2\sqrt{3-2(1-\Delta)^2}}{2\sqrt{2}(1-\Delta)} \right] = \tan^{-1} \frac{2\sqrt{2}(1-\Delta)\sigma_r}{\sqrt{3-2(1-\Delta)^2}\sigma_t} + \cos^{-1} \sqrt{\frac{1}{1+\mu^2}} \quad \dots (2)$$

また、I-I 方向に  $\overline{MM'}$  の  $\Delta$  倍だけ沈んだ状態を基準にして、

さらに  $\Delta$  の  $\Delta_r^*$  倍沈むとき、半径方向のヒズミ  $\Delta_r^*$  との間、微小増分の比について、

$$\frac{\delta \Delta_r^*}{\delta \Delta} = \frac{\frac{2}{3}(1-\Delta)^2}{1 - \frac{2}{3}(1-\Delta)^2} \quad \dots (3)$$

なる関係が成立する。

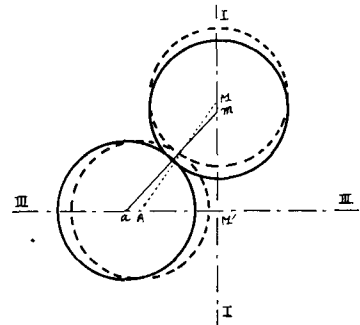
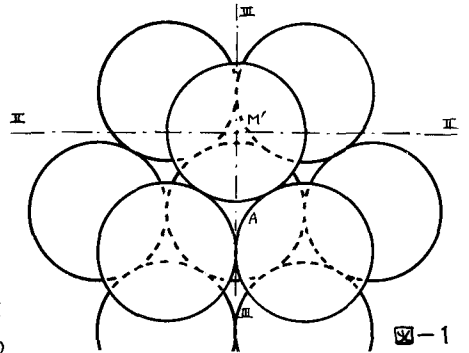
##### b) $\sigma_t (= \sigma_\theta) > \sigma_r$ の場合

a) の場合と同様に、砂粒子は、破壊点近傍では、図-1の I-I 方向に、一様に  $\Delta$  だけ沈みこんだ状態にあるとする。この状態から出発して、I-I, II-II 両方向に、単位面積あたり  $\sigma_t$ 、また、III-III 方向に  $\sigma_r$  の力を受けるとすると、力のフリ合より a) の場合と同様、(2) 式が得られる。

また、I-I 方向に  $\overline{MM'}$  の  $\Delta$  倍だけ沈んだ状態を基準にして、さらに、二つの半径方向に同じ量  $\Delta_r^*$  倍沈むとき、軸方向ヒズミ  $\Delta_r^*$  との間、微小増分の比について、

$$\frac{\delta \Delta_r^*}{\delta \Delta} = \frac{2}{3\sqrt{1-\frac{2}{3}(1-\Delta)^2}} \left[ \frac{2(1-\Delta)^2}{3\sqrt{1-\frac{2}{3}(1-\Delta)^2}} + \frac{\{1/6(1-\Delta)^2 + 3/4\}}{\sqrt{1-\{1/6(1-\Delta)^2 + 3/4\}}} \right] \quad (4)$$

なる関係が成立する。



式(1), (2), (3), (4)から,  $e \sim \sigma_r / \sigma_n$ ,  $e \sim \sigma_n / \sigma_r$   
 $e \sim \delta \epsilon_r^* / \delta \epsilon_n^*$ ,  $e \sim \delta \epsilon_n^* / \delta \epsilon_r^*$  の間の関係を図-3,  
 図-4の中に実線を示した。

### 3. 実験方法

側圧一定(2.0 kg/cm<sup>2</sup>)の排水三軸圧縮試験については, 参考文献(2)を参照されたい。軸圧一定の2 kg/cm<sup>2</sup>の三軸伸張試験については, 上記圧縮試験の方法に準じた。実験心とくに注意した点は, 破壊点まで, 一樣な変形をたもつことであつた。試料は, 粒径のそろつた豊浦砂とガラスビーズ( $\phi = 0.2^{mm}$ )を用いた。

### 4. 結果

図-3は, 横軸に破壊時の間げき比を, 縦軸に圧縮試験の場合, 軸方向応力 $\sigma_n$ と半径方向応力 $\sigma_r$ の比  $\sigma_n / \sigma_r$  を, 伸張試験の場合には,  $\sigma_r / \sigma_n$  をとった。図より, 実験値は, 第一近似としては, 圧縮, 伸張両試験ともにはほぼ同じ傾向を有するといふことができる。

図-4は, 横軸に破壊時の間げき比 $e$ を, 圧縮試験の場合, 縦軸に半径方向ヒズミ増分 $\delta \epsilon_r$ と軸方向ヒズミ増分の比  $\delta \epsilon_r / \delta \epsilon_n$  を, 伸張試験の場合, 逆に  $\delta \epsilon_n / \delta \epsilon_r$  をとった。図より実験値は, 規則配列を仮定した計算値と傾向としての一致性があることがわかる。

次に, 破壊時のヒズミ量は, 0.1の程度であるのみ, 変形の重ね合せが成立するとした場合の  $(\delta \epsilon_n / \delta \epsilon_r)$ 伸張 と  $(\delta \epsilon_r / \delta \epsilon_n)$ 圧縮 との関係を示したのが, 図-5の中の曲線である。また, 規則配列の仮定より求められたものが, 右方の実線である。また, 実験値より求めたものが, 点線を示してある。図よりわかるように, 砂やガラスビーズで成り立つ物体は, それ独自の变形挙動を示すといえる。

おわりに, 日頃の討論を通じて, 励ましをいただいたり, 本学湯浅敏史助教に謝意を表します。

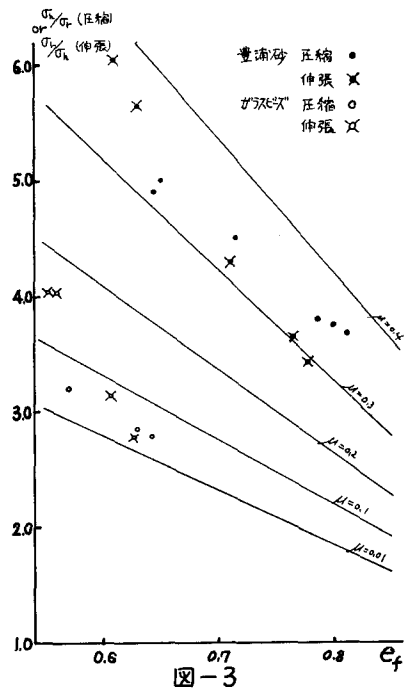


図-3

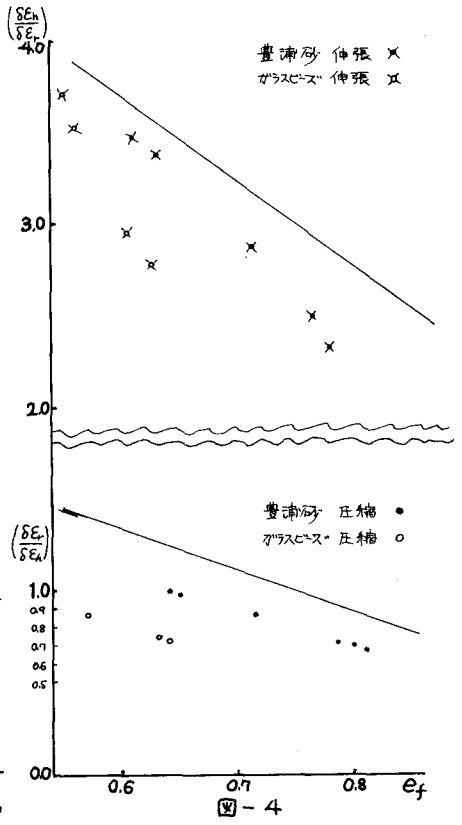


図-4

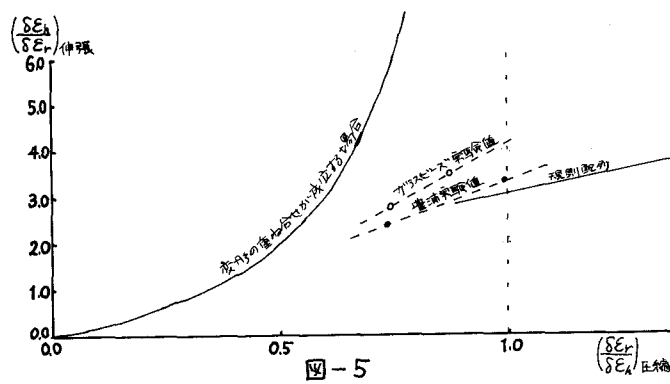


図-5

1) 最上武雄編著「土質力学」P.907 (1969). 2) 林慶夫「砂の弾性変形 (Ca<sub>1</sub>)」土木学会第29回年次学術講演会講演報告集3 1974 319.